

山梨大学工学部 正員 深沢泰晴
山梨大学大学院 学生員 ○太田貞次

1. はじめに 大型・軽量構造の需要に伴なって提起された薄内ばかりの曲げねじれ問題は、過去40余年にわたるぼう大な研究の成果として、ワグナーあるいはウラゾフの理論¹⁾の名のもとに、ひとまずその理論的体系化が完了した感があった。ところが最近また、C.F. Kollbrunner & N. Haydin の研究²⁾をはじめ、西野等の論文³⁾にもみられるように、より合理的と思われるひずみ場の仮定から出発することにより、若干の発展がもたらされた。すなわち、ワグナーあるいはウラゾフ理論では、薄内中心面によって薄内ばかりを代表させていけるのに対し、後者等においては板厚方向の断面の広がりを考慮されており、それによって理論展開がより洗練された形でなされたようになった。

一方、著者等はそのような成果を踏えた上で、はりの構成要素である個々の板帶の解析を基本とし、それをはりとして集成することによって、はりの曲げねじれ問題を解くという慣用の手法とは若干異質な解析法をまとめたので、以下にその概要を報告するものである。このようなはりの構成板帶に着目する解析法は、曲げねじれ問題の初步的研究段階において、すなわち工形ばかりの S.Timoshenko, E.I.等の 2 フランジばかりの C.Weber 等の研究において採用され、さらに F. & H. Bleich⁴⁾によって仕堀の形の薄内多角断面への拡張が試みられたが、充分な定式化に成功せざれば中途半端な段階で終つていたため、その後見捨てられてしまつた感がある。著者等はそれをさらに改善、発展させることにより、曲げねじれ問題の一解析法としてまとめあげたものである。

2. はりの構成要素としての板帶の解析 薄内多角等断面ばかりの一例を図-1 に示す。はりの断面を含む平面上の仕堀の定点 O を原点とし、その平面上に x, y 軸をとった右手系直角座標系 (O-x, y, z) を設ける。

はりの構成要素である板帶のうち、仕堀の一つを取り出し（以下これを板帶 i と呼ぶ），これについてまず解析する。この板帶 i の断面上に、その断面の中立点 O_i を原点とし、断面の主軸に一致する座標軸 ξ, η をもつ右手系直角座標系 ($O_i-\xi, \eta, z$) を考える。 ζ 軸か x 軸となす角を α_i とする（符号は右ねじの法則）。図-2 参照。

板帶 i の断面上の仕堀点 $P(\xi, \eta, z)$ の x, y, z 方向の変位成分を u, v, w とし、また中立点 O_i のそれらを u_i, v_i, w_i とする。さらに断面の回転角を ψ （符号は右ねじの法則）とすると、微小変形（仮定 I）ならびに断面形不変の仮定（仮定 II）のもとに、まず

$$\left. \begin{aligned} u &= u_i - (\xi \sin \alpha_i + \eta \cos \alpha_i) \varphi \\ v &= v_i + (\xi \cos \alpha_i - \eta \sin \alpha_i) \varphi \end{aligned} \right\} \quad \text{--- (1) a,b}$$

次に、仕堀点 $P(\xi, \eta, z)$ の ξ, η 軸方向の変位成分を \tilde{u}, \tilde{v} とすると

$$\left. \begin{aligned} \tilde{u} &= u \cos \alpha_i + v \sin \alpha_i = u_i \cos \alpha_i + v_i \sin \alpha_i - \xi \varphi \\ \tilde{v} &= -u \sin \alpha_i + v \cos \alpha_i = -u_i \sin \alpha_i + v_i \cos \alpha_i + \eta \varphi \end{aligned} \right\} \quad \text{--- (2) a,b}$$

ひずみ場の仮定（仮定 III）として、次式を設定する；

$$Y_{xz} = \frac{\partial \tilde{u}}{\partial z} + \frac{\partial w}{\partial \xi} = 0, \quad Y_{yz}^* = \frac{\partial \tilde{v}}{\partial z} + \frac{\partial w}{\partial \eta} = 0 \quad \text{--- (3) a,b}$$

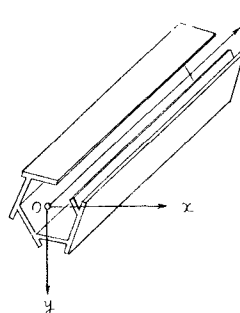


図-1. 薄内開断面ばかりと座標系(0-x, y, z)

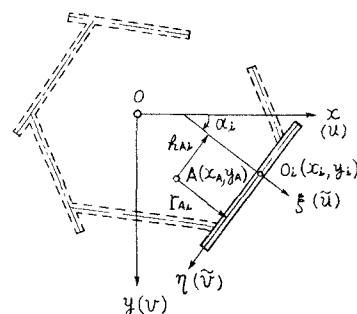


図-2. 板帶 i の断面と座標系($O_i-\xi, \eta, z$)

ここに、*印は板厚中心面上の点の値、すなはち $\zeta = 0$ に対応する値を意味する。式(3)に式(2)を代入し、 w について解くと $w = w_i - (\beta \cos \alpha_i - \eta \sin \alpha_i) u_i' - (\beta \sin \alpha_i + \eta \cos \alpha_i) v_i' + \beta \eta \varphi'$ (4)

ここに、prime は ζ に関する微分を表わす。

結局、式(2)および(4)より、板帶上の任意点Pにおけるひずみ成分は、つぎのように求まる：

$$\left. \begin{aligned} E_{\bar{x}} &= E_{\eta} = Y_{\bar{x}\eta} = Y_{\bar{x}\bar{x}} = 0 \\ E_{\bar{z}} &= W_i' - (\bar{x} \cos \alpha_i - \eta \sin \alpha_i) U_i'' - (\bar{x} \sin \alpha_i + \eta \cos \alpha_i) V_i'' - \bar{x} \eta g'' \\ Y_{\eta\bar{x}} &= 2 \bar{x} g' \end{aligned} \right\} \quad \text{--- (5) } a-c$$

次に、板帶より長さ Δx の微小要素をとり出し、任意の仮想変形に対する内力の仮想仕事 δV_0 、ならびに両切断面に作用する応力と物体力のなす仮想仕事 δV_1 を求めよ。まずそれらは次式に表わされる：

$$\delta \Pi_i = \int_{F_i} (\mathcal{C}_x \delta \mathcal{E}_z + \mathcal{T}_{yz} \delta \mathcal{Y}_{yz}) dF_i dz, \quad \delta V_i = - \int_{F_i} \{(\mathcal{C}_z \delta W + \mathcal{T}_{xz} \delta U + \mathcal{T}_{yz} \delta V)' + P_x \delta U + P_y \delta V + P_z \delta W\} dF_i dz \quad \dots \quad (6)_{ab}$$

ここに、 F_i は板帶 i の断面積、 P_x, P_y, P_z は単位体積当たりの物体力の x, y, z 方向成分である。式(6)に式(5)b.c (1), (4) を代入して整理すると $S\Omega_i + S\Gamma_i$ が次のように得られる；

$$\delta \Pi_i + \delta V_i = - \left[N_{xi} S W_i - (M_{xi} \cos \alpha_i - M_{zi} \sin \alpha_i) \delta U_i' - (M_{xi} \sin \alpha_i + M_{zi} \cos \alpha_i) \delta V_i' - M_{wi} S g' \right. \\ - T_{xi} S g' + (Q_{xi} \delta U_i + Q_{zi} \delta V_i + T_x' S g)' + \{ g_{xi} \delta U_i + g_{zi} \delta V_i + g_{xi} S W_i \\ \left. + m_{xi} S g - (m_{xi} \cos \alpha_i - m_{zi} \sin \alpha_i) \delta U_i - (m_{xi} \sin \alpha_i + m_{zi} \cos \alpha_i) \delta V_i - M_{wi} S g' \} \right] dx \quad \dots \dots \dots (7)$$

$$\left. \begin{aligned} N_x &= \int_{F_i} G_x dF_i, \quad M_{yz} = \int_{F_i} G_z \eta dF_i, \quad M_{yx} = \int_{F_i} G_x \bar{z} dF_i, \quad M_{wx} = \int_{F_i} G_x \bar{y} \eta dF_i, \quad T_{zx} = 2 \int_{F_i} T_{yz} \bar{z} dF_i \\ Q_{xi} &= \int_{F_i} T_{xz} dF_i, \quad Q_{yi} = \int_{F_i} T_{yz} dF_i, \quad T_x = \int_{F_i} \{T_{yz}(\bar{z} \cos \alpha_i - \eta \sin \alpha_i) - T_{xz}(\bar{z} \sin \alpha_i + \eta \cos \alpha_i)\} dF_i \\ g_{xi} &= \int_{F_i} P_x dF_i, \quad g_{yi} = \int_{F_i} P_y dF_i, \quad g_{zi} = \int_{F_i} P_z dF_i, \quad M_{xi} = \int_{F_i} \{P_y(\bar{z} \cos \alpha_i - \eta \sin \alpha_i) - P_z(\bar{z} \sin \alpha_i + \eta \cos \alpha_i)\} dF_i \\ M_{yz} &= \int_{F_i} P_z \eta dF_i, \quad M_{yx} = \int_{F_i} P_z \bar{z} dF_i, \quad M_{wx} = \int_{F_i} P_z \bar{y} \eta dF_i \end{aligned} \right\} \quad \text{--- (8) } a-h$$

3. 任意座標で表わした基本式

3. 任意座標で表わした基本式
想仕事の原理は、次のように書ける。

はりの $x-y$ 平面上に任意に選んだ定点Aを定める。定点A(以下極Aと呼ぶ)の $x-y$ 座標を x_A, y_A とし、また定点Aの x, y 方向の変位成分を u_A, v_A とすると、式(1)と同様にまず次式が得られる；

$$U_i = U_A - (y_i - y_A) \varphi \quad , \quad V_i = V_A + (x_i - x_A) \varphi \quad - - - - - \quad (11)_{ab}$$

さらに、はり軸方向の変位については、 w_4 をそのみの関数として

$$w_i = w_A - (x_i - x_A) u'_A - (y_i - y_A) v'_A - w_A \cdot g' \quad \dots \quad (12)$$

図-3. 板帶 i と板帶 $i+1$ の接合部
と書ける。ここで $w_{A,i}y'$ は平面保持の法則に従わない変位分であり、 $w_{A,i}$ は相隣接する板帶の接合面でのり軸方向の変位の連続条件から次のように定められる。まず、式(4)に(11), (12)を代入して

$$w = w_A - (x - x_A) u'_A - (y - y_A) v'_A - (\lambda_{A,i} \xi + \gamma_{A,i} \eta + \beta_{A,i} \zeta + \omega_{A,i}) g' \quad \dots \quad (13)$$

ここに、 $\theta_{Ai} = (x_i - x_A) \sin \alpha_i - (y_i - y_A) \cos \alpha_i$, $I_{Ai} = (x_i - x_A) \cos \alpha_i + (y_i - y_A) \sin \alpha_i$ ----- (14) a,b
板帶 i と $i+1$ との接合面における W の連続の条件を、板厚中心面の交線においてのみ適用する（仮定IV）と、

由上式得 $\lambda = 1, 2, \dots, n-1$ 时 $A_{\lambda+1}^{\lambda}$ 为零矩阵, 而 $A_{\lambda+1}^{\lambda} + A_{\lambda+1}^{\lambda+1}$ 为非零矩阵, 故必有 λ 为特征值.

したがって、 U_{i+1} より後ろにある点は、 U_{i+1} より後ろにある点までの距離を表す（図-5参照）。式(15)は左辺が正であり、この解は次式で与えられる：

$$W_{Ai} = \frac{1}{F} \left\{ B_{WA} - \sum_{j=2}^{i-1} \sum_{s=1}^{j-1} (A_{js} K_{As} + A'_{js+1} K_{A,s+1}) \right\} \quad \dots \quad (18)_{a.b}$$

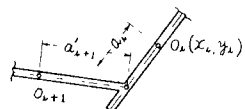


図-3. 板帶*i*と板帶*i+1*の接合部

ここに、 F ははりの断面積、 B_{WA} は ω_{Ai} の基準面を用いる断面定数の一項であり、それそれ次式で表わされる；

$$F = \sum_{i=1}^n F_i \quad , \quad B_{\omega_1} = \sum_{i=1}^n F_i \omega_{1i} \quad - - - - - \quad (17)_{ab}$$

さて、式(10)～式(17)を代入し、さらに式(11)、(12)を用いて整理すると、次式を得る；

$$- (N' + g_x) \delta W_{0A} - (Q'_x + g_x) \delta U_A - (Q'_y + g_y) \delta V_A - (T'_{zA} + m_{zA}) \delta g \\ + (M'_y - Q_x + m_y) \delta U'_A + (M'_x - Q_y + m_x) \delta V'_A + (M'_{wA} - T_{wA} + m_{wA}) \delta \varphi' = 0 \quad \dots \dots \quad (18)$$

二二八

$$\left. \begin{aligned} N &= \sum_{i=1}^n N_i, \quad M_x = \sum_{i=1}^n (M_{xi} \sin \alpha_i + M_{zi} \cos \alpha_i + N_i y_i), \quad M_y = \sum_{i=1}^n (M_{xi} \cos \alpha_i - M_{zi} \sin \alpha_i + N_i x_i) \\ M_{wA} &= \sum_{i=1}^n (M_{wi} + N_i W_{xi} + M_{yi} F_{xi} + M_{zi} K_{xi}), \quad T_s = \sum_{i=1}^n T_{si}, \quad T_{wA} = T_{ZA} - T_s \\ Q_x &= \sum_{i=1}^n Q_{xi}, \quad Q_y = \sum_{i=1}^n Q_{zi}, \quad T_{ZA} = \sum_{i=1}^n \{T_s + Q_{xi}(y_i - y_A) - Q_{zi}(x_i - x_A)\} \end{aligned} \right\} \dots \quad (20)_{A-i}$$

$$\left. \begin{aligned} g_x &= \sum_{i=1}^n g_{xi}, \quad g_y = \sum_{i=1}^n g_{yi}, \quad g_z = \sum_{i=1}^n g_{zi}, \quad M_x = \sum_{i=1}^n (M_{xi} \sin \alpha_i + M_{zi} \cos \alpha_i + g_{xi} y_i) \\ M_y &= \sum_{i=1}^n (M_{xi} \cos \alpha_i - M_{zi} \sin \alpha_i + g_{zi} x_i), \quad M_{ZA} = \sum_{i=1}^n \{M_{xi} + g_{yi}(x_i - x_A) - g_{zi}(y_i - y_A)\} \\ m_{WA} &= \sum_{i=1}^n (m_{wi} + M_{xi} k_{xi} + M_{zi} k_{zi}) \end{aligned} \right\} \quad \text{--- (21) a-g}$$

式(18)より仮想変位の任意性から、はりのつりあい方程式が次のように得られる；

$$\left. \begin{array}{l} N' + g_z = 0, \quad Q_x' + g_x = 0, \quad Q_y' + g_y = 0, \quad T_{zA}' + m_{zA} = 0 \\ M_x' - Q_y + m_x = 0, \quad M_y' - Q_x + m_y = 0, \quad M_{zA}' - T_{wA} + m_{wA} = 0 \end{array} \right\} \quad (22)_{a-g}$$

Q_x, Q_y, T_{ZA} を消去する

$$N' + g_x = 0, \quad M_x'' + g_x + m_x' = 0, \quad M_y'' + g_x + m_y' = 0, \quad M_{WA}'' + T_{S'} + M_{EA} + m_{WA}' = 0 \quad - - - - - \quad (23)a-d$$

次に、断面力と変位との関係を求める。まず、 $\Omega_z = E\varepsilon_z$ 、 $T_{yz} = G\gamma_{yz}$ より、式(5)bc に式(11)、(12) を代入して、式(14)、(19) を考慮すれば

$$\left. \begin{aligned} \bar{\tau}_z &= E \left\{ w'_A - (x_i + \bar{z} \cos \alpha_i - \eta \sin \alpha_i) u''_A - (y_i + \bar{z} \sin \alpha_i + \eta \cos \alpha_i) v''_A - (\omega_{Ai} + \bar{k}_{Ai} \bar{z} + k_{Ai} \eta + \bar{z} \eta') q'' \right\} \\ \tau_{qz} &= 2G \bar{z} q' \end{aligned} \right\} \quad \dots (24)_{ab}$$

式(8) $a-e$ に式(24)を代入すると、板帶 i の断面力と極 A の変位の関係が次のように得られる；

$$\left. \begin{aligned} N_A &= EF_A (W_{Ax}' - X_A U_A'' - Y_A V_A'' - \omega_{Ax} \varphi''), \\ M_{xi} &= -EJ_{xi} (-U_A'' \sin \alpha_i + V_A'' \cos \alpha_i + f_{xi} \varphi'') \\ M_{yi} &= -EJ_{yi} (U_A'' \cos \alpha_i + V_A'' \sin \alpha_i + f_{yi} \varphi''), \\ M_{ax} &= -EG_{ax} \varphi'', \quad T_{xi} = GJ_{xi} \varphi' \end{aligned} \right\} \quad \text{--- (25)_{A-d}}$$

ここに、板帶の中を b_i 、板厚を t_i とすると

$$\left. \begin{aligned} F_i &= b_i t_i, \quad J_{F_i} = \int_{F_i} \eta^i dF_i = \frac{1}{12} b_i^3 t_i^3, \quad J_{\bar{\eta}_i} = \int_{F_i} \bar{\eta}^i dF_i = \frac{1}{12} b_i t_i^3 \\ C_{\omega i} &= \int_{F_i} \bar{\xi}^i \eta^i dF_i = \frac{1}{144} b_i^3 t_i^3, \quad J_{T_i} = 4 \int_{F_i} \bar{\xi}^i dF_i = \frac{1}{3} b_i t_i^3 \end{aligned} \right\} \quad (26)_{a-c}$$

式(24), (25)より応力を板帶との断面力で表わすと

式(25)を式(20)_{a-e}に代入すると、断面力と変位の関係が次のように得られる；

$$\left. \begin{aligned} N &= E(Fw_{0A}' - Z_y u_A'' - Z_x v_A'' - B_{0A} \varphi''), \quad M_x = E(Z_x w_{0A}' - J_{xy} u_A'' - J_x v_A'' - C_{xA} \varphi'') \\ M_y &= E(Z_y w_{0A}' - J_y u_A'' - J_{xy} v_A'' - C_{yA} \varphi''), \quad M_{wA} = E(B_{wA} w_{0A}' - C_{yA} u_A'' - C_{wA} v_A'' - C_{wA} \varphi'') \\ T_S &= G J_T \varphi' \end{aligned} \right\} \quad \dots \quad (28)_{a-e}$$

ここに、はりの断面定数が次式で定義される；

$$Z_X = \sum_{i=1}^n F_i Y_i, \quad Z_Y = \sum_{i=1}^n F_i X_i, \quad J_X = \sum_{i=1}^n (J_{Yi} \sin^2 d_i + J_{Xi} \cos^2 d_i + F_i Y_i^2)$$

$$J_{XY} = \sum_{i=1}^n ((J_{Yi} - J_{Xi}) \sin d_i \cos d_i + F_i X_i Y_i), \quad J_Y = \sum_{i=1}^n (J_{Yi} \cos^2 d_i + J_{Xi} \sin^2 d_i + F_i X_i^2)$$

$$\left. \begin{aligned} C_{xA} &= \sum_{i=1}^n (F_i y_i w_{Ai} + J_{xi} f_{xi} \sin \alpha_i + J_{xi} k_{xi} \cos \alpha_i), \quad C_{yi} = \sum_{i=1}^n (F_i x_i w_{Ai} + J_{xi} f_{xi} \sin \alpha_i + J_{xi} k_{xi} \cos \alpha_i) \\ C_{wA} &= \sum_{i=1}^n (F_i w_{Ai}^2 + C_{wA} + J_{xi} f_{xi}^2 + J_{xi} k_{xi}^2), \quad J_T = \sum_{i=1}^n J_{xi} \end{aligned} \right\} \quad \text{--- (29) } a-i$$

あることは、点 O_A を通る x, y 軸に平行な軸に関する板帶 i の断面二次モーメント J_{xi}, J_{xyi}, J_{yi} を用いると

$$J_{xi} = J_{xi} \sin^2 \alpha_i + J_{xi} \cos^2 \alpha_i, \quad J_{xyi} = (J_{xi} - J_{yi}) \sin \alpha_i \cos \alpha_i, \quad J_{yi} = J_{xi} \cos^2 \alpha_i + J_{xi} \sin^2 \alpha_i \quad \text{--- (30) } a-c$$

であるから、式 (29) $a-i$ は次式の形で計算することができます:

$$\left. \begin{aligned} J_x &= \sum_{i=1}^n (J_{xi} + F_i y_i^2), \quad J_{xy} = \sum_{i=1}^n (J_{xyi} + F_i x_i y_i), \quad J_y = \sum_{i=1}^n (J_{yi} + F_i x_i^2) \\ C_{xA} &= \sum_{i=1}^n \{F_i y_i w_{Ai} + J_{xi} (x_i - x_A) - J_{xyi} (y_i - y_A)\}, \quad C_{yi} = \sum_{i=1}^n \{F_i x_i w_{Ai} + J_{xyi} (x_i - x_A) - J_{yi} (y_i - y_A)\} \\ C_{wA} &= \sum_{i=1}^n \{F_i w_{Ai}^2 + C_{wA} + J_{xi} (x_i - x_A)^2 - 2 J_{xyi} (x_i - x_A) (y_i - y_A) + J_{yi} (y_i - y_A)^2\} \end{aligned} \right\} \quad \text{--- (31) } a-f$$

つりあいの方程式を変位で表わすと、式 (23), (28) より、次のようになります;

$$\left. \begin{aligned} EF w_{Ax}''' - EZ_y u_{Ax}''' - EBw_{Ax}'' + g_z &= 0, \quad EZ_x w_{Ax}''' - EJ_{xy} v_{Ax}''' - EC_{xA} \varphi''' + g_x + m'_x = 0 \\ EZ_y w_{Ax}''' - EJ_{xy} v_{Ax}''' - EC_{ya} u_{Ax}''' - EC_{wA} w_{Ax}''' - EC_{xA} \varphi''' + GJ_T \varphi' + M_{ZA} + m'_{wA} &= 0 \end{aligned} \right\} \quad \text{--- (32) } a-d$$

4. 主座標で表わした基本式 以上においては、座標系 $(0-x, y)$, w_{Ai} の基準面、極 A はいつれも任意に設定されていいが、次式を満たすように定めることができます。

$$Z_x = 0, \quad Z_y = 0, \quad J_{xy} = 0, \quad B_{wA} = 0, \quad C_{xA} = 0, \quad C_{ya} = 0 \quad \text{--- (33) } a-f$$

式 (33) $a-c$ は座標系 $(0-x, y)$ の原点の位置と座標軸の方向を、式 (33) d は w_{Ai} の自己つりあい系の基準面を、式 (33) $e-f$ は主極 A すなわちせん断中心の位置を与える。

このようないす座標で基本式を表わすと、まず断面力と変位の関係は式 (28), 式 (33) より

$$N = EF w_{Ax}', \quad M_x = -EJ_x v_{Ax}'', \quad M_y = -EZ_y u_{Ax}'', \quad M_{wA} = -EC_{wA} \varphi'', \quad T_s = GJ_T \varphi' \quad \text{--- (34) } a-e$$

また、つりあいの方程式は、式 (23), (34) より、あることは式 (32), (33) より

$$EF w_{Ax}'' + g_z = 0, \quad EJ_x v_{Ax}''' - g_y - m'_x = 0, \quad EZ_y u_{Ax}''' - g_x - m'_y = 0, \quad EC_{wA} \varphi''' - GJ_T \varphi'' - M_{ZA} - m'_{wA} = 0 \quad \text{--- (35) } a-d$$

一方、式 (25), (34) より、板帶 i の断面力とはりの断面力との関係が次のように得られる;

$$\left. \begin{aligned} N_i &= \frac{F_i}{F} N + \frac{F_i y_i}{J_x} M_x + \frac{F_i x_i}{J_y} M_y + \frac{F_i w_{Ai}}{C_{wA}} M_{wA}, \quad M_{xi} = \frac{J_{xi}}{J_x} M_x \cos \alpha_i - \frac{J_{xi}}{J_y} M_y \sin \alpha_i + \frac{J_{xi} k_{xi}}{C_{wA}} M_{wA} \\ M_{yi} &= \frac{J_{xi}}{J_x} M_x \sin \alpha_i + \frac{J_{xi}}{J_y} M_y \cos \alpha_i + \frac{J_{xi} f_{xi}}{C_{wA}} M_{wA}, \quad M_{wi} = \frac{C_{wi}}{C_{wA}} M_{wA}, \quad T_{si} = \frac{J_{xi}}{J_T} T_s \end{aligned} \right\} \quad \text{--- (36) } a-e$$

式 (27), (36) より、応力とはりの断面力との関係が次のように得られる;

$$\left. \begin{aligned} \sigma_z &= \frac{N}{F} + \frac{N_i}{J_x} (y_i + \zeta \sin \alpha_i + \eta \cos \alpha_i) + \frac{M_y}{J_y} (x_i + \zeta \cos \alpha_i - \eta \sin \alpha_i) + \frac{M_{wA}}{C_{wA}} (w_{Ai} + k_{xi} \zeta + k_{yi} \eta + \zeta \eta) \\ T_{si} &= \frac{T_s}{J_T} (2\zeta) \end{aligned} \right\} \quad \text{--- (37) } a-b$$

なお、主極 A と異なる極 B を考え、式 (33) の考慮のもとにこの 2 つの極に関する断面定数間の関係を求めると

$$\left. \begin{aligned} w_{Ai} &= w_{Bi} + (y_A - y_B)x_i - (x_A - x_B)y_i, \quad C_{xA} = C_{xB} - (x_A - x_B)J_x \\ C_{ya} &= C_{yb} + (y_A - y_B)J_y, \quad C_{wA} = C_{wb} - (x_A - x_B)C_{xb} + (y_A - y_B)C_{yb} \end{aligned} \right\} \quad \text{--- (38) } a-d$$

したがって、主極 A の座標は、式 (33) $c-f$, (38) $b-c$ より

$$x_A - x_B = C_{xb}/J_x, \quad y_A - y_B = C_{yb}/J_y \quad \text{--- (39) } a-b$$

5. むすび 以上の解析は、慣用の曲げねじれ理論と、その立脚する仮定が同一であるから、それと本質的な差異を有していないわけではない。しかしながら、次のような利点がある。すなわち、①はりの断面定数がすべて構成板帶の断面定数の和で表わされているため、実用計算に便利である。②はりの断面変形およびせん断变形等を考慮した解析、ならびに曲げねじれ問題の塑性解析への発展の基盤として有効である。

参考文献 1) Vlasov, V Z : Thin-Walled Elastic Beams, 1961. 2) Kollbrunner, L.F. & N. Hajdin : Dünnwandige Stäbe, 1972, 3) 西野他 3 名：軸力と曲げおよびねじりを受けた骨肉断面部材、土木学会論文集 No. 225 1974 4) Bleich, F & H. Bleich : Buckling Strength of Metal Structures, 1952